

**KAJIAN CANGKANG VIRUS DALAM TINJAUAN
FISIKA DENGAN MENGGUNAKAN SOLUSI
PERSAMAAN MICHELL**



**JURUSAN FISIKA DAN PENGAJARAN IPA
FAKULTAS MATEMATIKA DAN ILMU PENGETAHUAN ALAM
UNIVERSITAS PENDIDIKAN GANESHA
SINGARAJA
2021**

**KAJIAN CANGKANG VIRUS DALAM TINJAUAN
FISIKA DENGAN MENGGUNAKAN SOLUSI
PERSAMAAN MICHELL**

SKRIPSI

Diajukan kepada
Universitas Pendidikan Ganesha
Untuk Memenuhi Salah Satu Persyaratan dalam Menyelesaikan
Program Sarjana Pendidikan Fisika



**JURUSAN FISIKA DAN PENGAJARAN IPA
FAKULTAS MATEMATIKA DAN ILMU PENGETAHUAN ALAM
UNIVERSITAS PENDIDIKAN GANESHA
SINGARAJA
2021**

SKRIPSI

DIAJUKAN UNTUK MELENGKAP TUGAS
DAN MEMENUHI SYARAT-SYARAT UNTUK
MENCAPAI GELAR SARJANA PENDIDIKAN

Menyetujui

Pembimbing I



Dr. I Gede Aris Gunadi, S.Si., M.Kom.

NIP. 197703182008121004

Pembimbing II



NIP. 198402222009122008

Skripsi oleh Mohammad Rizki Faizi ini
telah dipertahankan di depan dewan pengaji pada
pada tanggal 16 Juli 2021
Dewan Pengaji,

Dr. I Gede Aris Gunadi, S.Si., M.Kom
NIP. 197703182008121004

(Ketua)

Dr. Luh Putu Budi Yasmini, S.Pd., M.Sc
NIP. 198402222009122008

(Anggota)

Dr. Putu Artawan, S.Pd., M.Si
NIP. 197912202006041001

(Anggota)

Putu Widiarini, S.Pd., M.Pd., M.Sc.
NIP. 198903272019032020

(Anggota)

Diterima oleh Panitia Ujian Fakultas Matematika dan Ilmu Pengetahuan Alam
Universitas Pendidikan Ganesha
guna memenuhi syarat-syarat untuk mencapai gelar sarjana pendidikan
Pada:

Hari : **Jumat**

Tanggal : **16 Juli 2021**

Mengetahui,

Ketua Ujian,



Dr. Wayan Sukra Warpala, S.Pd., M.Sc.
NIP. 19670131 199403 1 001

Sekretaris Ujian,



Dr. Ida Bagus Putu Mandana, M.Si.
NIP. 19640827 199102 1 001

Mengesahkan
Dekan Fakultas Matematika dan Ilmu Pengetahuan Alam



Prof. Dr. I Nengah Suparta, M.Si.
NIP. 19650711 199003 1 003

PERNYATAAN

Dengan ini saya menyatakan bahwa karya tulis yang berjudul "**KAJIAN CANGKANG VIRUS DALAM TINJAUAN FISIKA DENGAN MENGGUNAKAN SOLUSI PERSAMAAN MICHELL**" beserta seluruh isinya adalah benar-benar karya sendiri dan saya tidak melakukan penjiplakan dan pengutipan dengan cara-cara yang tidak sesuai dengan etika yang berlaku dalam masyarakat keilmuan. Atas pernyataan ini, saya siap menanggung risiko/sanksi yang dijatuhkan kepada saya apabila kemudian ditemukan adanya pelanggaran atas etika keilmuan dalam karya saya ini atau ada klaim terhadap keaslian karya saya ini.

Singaraja, Juli 2021



Penulis



DIPERSEMBAHKAN KEPADA IBUNDA TERCINTA

*Terima kasih atas dukungan dan doa yang selalu dipanjatkan untuk
kesuksesan anakmu, dan*

*Tidak lupa juga untuk semua guru-guruku atas ilmu yang tak
ternilai harganya.*

PRAKATA

Puji syukur penulis panjatkan kehadirat Tuhan Yang Maha Esa karena atas rahmatnya, penulis dapat menyelesaikan tugas skripsi yang berjudul "**Kajian Cangkang Virus dalam Tinjauan Fisika dengan Menggunakan Solusi Persamaan Michell**". Penulis sangat berterima kasih kepada Bapak Dr. I Gede Aris Gunadi, S.Si., M.Kom, selaku pembimbing I, Ibu Dr. Luh Putu Budi Yasmini, S.Pd., M.Sc, selaku pembimbing II, dan Ibu Dr. Nurfa Risha, S.Si., M.Sc. selaku pembimbing.

Terima kasih juga disampaikan kepada seluruh dosen Pendidikan Fisika di Universitas Pendidikan Ganesha atas segala perhatiannya selama penulis menjalankan kuliah pada program studi Pendidikan Fisika. Terima kasih kepada Ibuk Suci yang telah berkenan menyelesaikan persoalan mengenai administrasi penulis.

Terima kasih disampaikan kepada ibunda tercinta atas dukungan, doanya yang mujarab, dan motivasi yang telah diberikan selama ini, sehingga anakmu ini konsisten mempelajari topik ini, dan terima kasih kepada buk purwanti sebagai pembaca setia. Terima kasih juga disampaikan kepada teman-teman di jurusan Pendidikan Fisika atas segala dukungannya khususnya kak Rai, kak Vina, Alit, serta teman-teman saya, kakak tingkat, dan adik tingkat lainnya yang tidak bisa saya sampaikan satu persatu yang pastinya merupakan panutan saya.

Singaraja, Juli 2021

Penulis

KAJIAN CANGKANG VIRUS DALAM TINJAUAN FISIKA DENGAN MENGGUNAKAN SOLUSI PERSAMAAN MICHELL

Oleh

Mohammad Rizki Fauzi, NIM 1713021043

Program Studi Pendidikan Fisika, Fakultas MIPA, UNDIKSHA Singaraja

ABSTRAK

Virus memiliki kekakuan/konstanta elastisitas cangkang yang berbeda-beda untuk setiap jenis virus baik itu cangkang kapsid maupun lipid. Untuk mengetahui kekakuan cangkang virus dapat dilakukan dengan *Atomic Force Microscopy* (AFM), dengan mengasumsikan cangkang sebagai sebuah pegas. Berdasarkan metode AFM mencari nilai kekakuan cangkang dengan menentukan nilai kekakuan efektif dan *cantilever*. Pada penelitian ini untuk menghitung kekakuan cangkang digunakan metode *Finite Element Analysis* (FEA), *plate & shell theory*, dan dengan menggunakan metode lain yaitu solusi persamaan Michell.

Menghitung nilai kekakuan cangkang dengan meninjau lempengan yang dimiliki cangkang. Kemudian dengan mengaitkan fungsi tegangan *airy* (ϕ) untuk kasus lempengan berdasar solusi persamaan Michell dan mengkalkulasikan persamaan tensor tegangan tangensial. Persamaan tensor tegangan tangensial ini dikaitkan terhadap persamaan mengenai keterkaitan antara tekanan dan tensor tegangan.

Hasil yang diperoleh dalam penelitian ini didapatkan bahwa dengan menggunakan solusi persamaan Michell untuk menghitung nilai kekakuan cangkang lebih berimpit terhadap hasil FEA dibandingkan dengan menggunakan *plate & shell theory*. Hasil nilai kekakuan cangkang dengan menggunakan solusi persamaan Michell tidak jauh berbeda dengan menggunakan *plate & shell theory*.

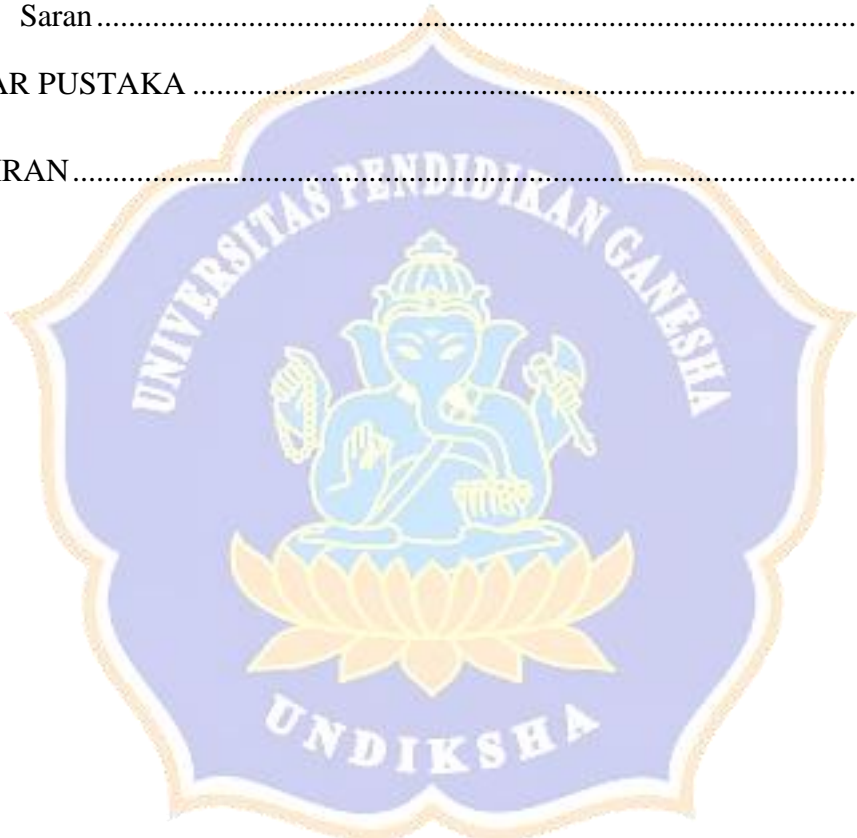
Kata Kunci : cangkang virus, kekakuan, lempengan, solusi persamaan Michell, *plate & shell theory* dan FEA.

DAFTAR ISI

PRAKATA	i
ABSTRAK	ii
DAFTAR ISI.....	iii
DAFTAR TABEL.....	vi
DAFTAR GAMBAR	vii
DAFTAR LAMPIRAN	xi
TATA NAMA NOTASI DALAM SKRIPSI.....	xii
BAB I PENDAHULUAN	1
1.1 Latar Belakang	1
1.2 Rumusan Masalah	4
1.3 Batasan Masalah.....	4
1.4 Tujuan Penelitian.....	5
1.5 Manfaat Penelitian.....	5
1.6 Struktur Penulisan	5
BAB 2 KAJIAN PUSTAKA.....	7
2.1 Virus	7
2.1.1 Virus Amplop (<i>Enveloped Virus</i>).....	8
2.1.2 Virus Tanpa Amplop/Selubung (lapisan terluar virus) (Non- Enveloped Virus)	9
2.2 <i>Atomic Force Microscopy</i> (AFM)	10
2.2.1 Gambaran Umum AFM	10
2.2.2 Sifat Mekanik Virus	13

2.3	Keterkaitan Bilangan Triangulasi dan Bilangan Bulat Eisenstein (<i>Eisenstein Integers</i>)	21
2.4	<i>Plane Stress & Plane Strain</i>	30
2.4.1	Regangan Bidang (<i>Plane Strain</i>)	32
2.4.2	Tegangan Bidang (<i>Plane Stress</i>).....	37
2.4.3	Solusi Michell	47
2.5	<i>Plate & Shell Theory</i>	51
BAB 3	METODE PENELITIAN	59
3.1	Desain Penelitian.....	59
3.2	Sumber Data	65
3.3	Variabel Penelitian	65
3.4	Analisis Data	66
BAB 4	HASIL PENELITIAN DAN PEMBAHASAN	68
4.1	Analisa Hasil Perhitungan Analitik	68
4.1.1	Solusi Michell dan Mekanika Statistik	68
4.1.2	Konstanta Elastisitas Cangkang Virus berdasar Teori Plat, dan Kulit (<i>Plate and Shell Theory</i>)	80
4.2	Analisa Elemen Hingga/ <i>Finite Element Analysis</i> (FEA)	83
4.2.1	<i>Cowpea Chlorotic Mottle Virus</i> (CCMV) <i>empty Wild Type</i> (WT) .	84
4.2.2	Cowpea Chlorotic Mottle Virus (CCMV) <i>empty SubE</i> (CCMV yang bermutasi).....	92
4.2.3	<i>Minute Virus of Mice</i> (MVM).....	96
4.2.4	<i>Hepatitis B Virus</i> (HBV) dengan T= 3.....	101
4.2.5	Kapsid HBV T = 4	106
4.2.6	Lipid Virus Influenza	111
4.2.7	<i>Human Imunodeficiency virus type 1- mature</i> (HIV-1 matang) ...	115

4.2.8	HIV-1 (belum matang (<i>immature</i>)).....	119
4.3	Keterkaitan Konstanta Elastisitas Cangkang Virus dengan Bilangan Triangulasi.....	127
4.4	Keterkaitan antara Konstanta Elastisitas Cangkang Amplop dan Radiusnya	133
BAB 5	PENUTUP	136
5.1	Kesimpulan.....	136
5.2	Saran	138
DAFTAR PUSTAKA		139
LAMPIRAN		142



DAFTAR TABEL

Tabel 2.1 Rata-rata nilai kekakuan yang telah ditentukan pada virus, dan liposom influenza dengan menggunakan AFM (Schaap dkk, 2012).....	20
Tabel 2.6 Transformasi Modulus Elastis antara tegangan bidang dan regangan bidang (Sadd, 2009).	43
Tabel 2.3 Fungsi tegangan, tegangan komponen radial dan tegangan geser (Barber, 1992)	49
Tabel 2.4 Fungsi tegangan, dan komponen perpindahannya (Barber 1992; Sadd 2009).	50
Tabel 3.1 Tahapan metode FEA untuk model cangkang virus.....	61
Tabel 3.2 Karakteristik cangkang virus yang diteliti	66
Tabel 4.1 Perbandingan antara FEA dan teori <i>plate & shell</i>	88
Tabel 4.2 Perbandingan antara hasil FEA dan Analitis	89
Tabel 4.3 Perbandingan antara hasil FEA, dan teori <i>plate & shell</i>	95
Tabel 4.4 Perbandingan antara hasil FEA dan analitis.	96
Tabel 4.5 Perbandingan antara FEA dan teori <i>plate & shell</i>	100
Tabel 4.6 Perbandingan antara hasil FEA dan Analitis.	100
Tabel 4.7 Perbandingan antara FEA dan teori <i>plate & shell</i>	104
Tabel 4.8 Perbandingan antara FEA dan analitis.	105
Tabel 4.9 Perbandingan antara hasil FEA dan teori <i>plate & shell</i>	109
Tabel 4.10 Perbandingan antara hasil FEA dan hasil metode analitis.	110
Tabel 4.11 Perbandingan antara FEA dan teori <i>plate & shell</i>	114
Tabel 4.12 Perbandingan antara FEA dan metode analitis.	114
Tabel 4.13 Perbandingan antara FEA dan teori <i>plate & shell</i>	118
Tabel 4.14 Perbandingan antara FEA, dan Analitis.	118
Tabel 4.15 Perbandingan antara FEA, teori <i>plate & shell</i> dan analitis.	122
Tabel 4.16 Tabel hasil FEA dan teori	126
Tabel 4.17 Nilai konstanta elastisitas kapsid berdasar bilangan triangulasi yang dimiliki kapsid.....	132
Tabel 4.18 Nilai konstanta elastis cangkang berdasar radius eksternal yang dimiliki virus influenza, dan HIV-1 yang matang.	135

DAFTAR GAMBAR

Gambar 2.1 Skematis virus influenza (Schaap dkk, 2012).....	8
Gambar 2.2 Kapsid CCMV (Mateu, 2012).....	9
Gambar 2.3 AFM digunakan untuk mengukur kekakuan virus (Mateu, 2012)....	11
Gambar 2.4 (A) Keterkaitan antara kekakuan dan panjang silinder dengan $\ell_1 < \ell_2 < \ell_3$, (B) Keterkaitan antara kekakuan dan diameter kulit bola dengan $d_1 < d_2 < d_3$, (C) Penyetaraan pada silinder dan kulit bola (Gambar dibuat dengan menggunakan program Python).....	16
Gambar 2.5 (A) <i>Bald Virus</i> (B) <i>Liposome</i> (C) <i>Wild Type Virus</i> dan (D) Hubungan antara kekakuan virus influenza dan diameter yang dimiliki virus (Schaap dkk, 2012).	19
Gambar 2.6 Keterkaitan bilangan Triangulasi dengan besarnya virus pada HBV (Utrecht dkk, 2008).	22
Gambar 2.7 Visualisasi radius rata-rata pada kapsid virus (Gambar dibuat dengan menggunakan program ABAQUS).....	23
Gambar 2.8. <i>Plot</i> polinomial siklotomik ke-tiga dengan menggunakan program <i>Mathematica</i>	25
Gambar 2.9 Bilangan bulat Eisenstein sebagai titik potong kisi segitiga yang ada pada bidang kompleks (Parker dkk, 2016).....	27
Gambar 2.10 (A) Kapsid CCMV (Zandi dan Reguera, 2005) dan (B) kisi pada bilangan bulat Eisenstein untuk menentukan nilai bilangan triangulasi yang dimiliki kapsid CCMV (Gambar dibuat dengan menggunakan Microsoft Office Word).	29
Gambar 2.11 Contoh kasus <i>axisymmetric</i> pada teori elastisitas (Gambar dibuat dengan menggunakan program ABAQUS).	31
Gambar 2.12 Silinder panjang menggambarkan kondisi regangan bidang (Gambar dibuat dengan menggunakan program ABAQUS).	33
Gambar 2.13 Pelat elastis tipis menggambarkan kondisi tegangan bidang (Sadd, 2009).	38

Gambar 2.14 (A) Gaya yang bekerja pada pelat elastis tipis dan (B) Traksi pada pelat elastis tipis (Gambar dibuat dengan menggunakan program ABAQUS).....	39	
Gambar 2.15 Elemen yang diambil dari suatu kulit (<i>shell</i>) (Timoshenko dan Gere, 1961).	52	
Gambar 2.16 Tampilan kulit jika ditinjau dari samping	53	
Gambar 3.1 Diagram alur penelitian.....	60	
Gambar 4.1 (a) Kapsomer tunggal <i>i</i> , dan <i>j</i> pada TYMV (<i>Turnip Yellow Mosaic Virus</i>), dan (b) Kapsid TYMV	(Malkin, Kuznetsov, and Mcpherson 2001).....	69
Gambar 4.2 Kulit bola yang terbeban dalam pengaruh tekanan eksternal <i>p</i> (Hutchinson and Thompson 2018).....	74	
Gambar 4.3 Model FEA cangkang dengan titik putih menunjukkan disk cangkang dan dengan tensor tegangan seragam sehingga dari sini dapat dikaitkan dengan tensor tegangan solusi persamaan Michell (Gambar dibuat dengan menggunakan program ABAQUS).	75	
Gambar 4.4 Fenomena tekuk (<i>Buckling</i>) pada kulit permukaan bola tipis (Khakina 2013).	78	
Gambar 4.5 Jangkauan <i>thin shell</i> , <i>thick shell</i> , dan <i>solid</i> (Akin 2009).....	80	
Gambar 4.6 Analisa metode FEA pada virus CCMV <i>empty</i> WT yang terindentasi dengan kedalaman sebesar 15 nm.....	84	
Gambar 4.7 Kemiringan gradien yang didapatkan pada hasil <i>FEA</i> untuk cangkang kapsid CCMV <i>empty</i> WT.....	85	
Gambar 4.8 (A) perbandingan grafik konstanta elastisitas antara teori <i>plate & shell</i> dengan FEA, (B) perbandingan grafik konstanta elastisitas antara metode analitis dengan FEA dan (C) perbandingan grafik konstanta elastisitas antara teori <i>plate & shell</i> , metode analitis dan FEA.	87	
Gambar 4.9 (a) Model indentasi balok, (b) zoom model dan (c) perbandingan hasil antara teori Hertz dengan FEA ABAQUS.	91	
Gambar 4.10 Analisa metode FEA pada virus CCMV <i>empty</i> SubE yang terindentasi dengan kedalaman indentasi sebesar 10 nm.....	92	
Gambar 4.11 Kemiringan gradien hasil FEA untuk kapsid CCMV <i>empty</i> <i>SubE</i> . 93		

Gambar 4.12 perbandingan hasil konstanta elastisitas pad kapsid CCMV <i>empty</i> WT antara teori <i>plate & shell</i> , metode FEA, dan analitis.	94
Gambar 4.13 Analisa metode FEA pada kapsid MVM yang terindentasi dengan kedalaman sebesar 10 nm.....	97
Gambar 4.14 Kemiringan gradien yang didapatkan pada hasil <i>FEA</i> untuk cangkang kapsid MVM.	98
Gambar 4.15 Perbandingan grafik konstanta elastisitas antara teori <i>plate & shell</i> , metode analitis dan FEA pada kapsid MVM.	99
Gambar 4.16 Model terindentasi sampai kedalaman 10 nm.	101
Gambar 4.17 Hasil kemiringan gradien dengan menggunakan metode FEA....	102
Gambar 4.18 Grafik konstanta elastisitas kapsid HBV dengan $T = 3$	103
Gambar 4.19 Model terindentasi sampai kedalaman 10 nm.	106
Gambar 4.20 Hasil kemiringan gradien dengan menggunakan metode FEA....	107
Gambar 4.21 Perbandingan grafik konstanta elastisitas pada kapsid HBV dengan $T = 4$	108
Gambar 4.22 Model terindentasi dengan kedalaman 10 nm.	111
Gambar 4.23 Hasil kemiringan gradien dengan menggunakan metode FEA....	112
Gambar 4.24 Perbandingan grafik konstanta elastisitas lipid virus Influenza secara teori dan numerik.	113
Gambar 4.25 Model terindentasi sampai kedalaman 10 nm.	115
Gambar 4.26 Hasil Gradien konstanta elastisitas virion HIV-1 (matang)	116
Gambar 4.27 Perbandingan grafik konstanta elastisitas pada cangkang HIV tipe 1(matang) berdasarkan teori <i>plate & shell</i> , FEA dan analitis.	117
Gambar 4.28 Model cangkang HIV-1 yang belum matang terindentasi sampai kedalaman 10 nm.	119
Gambar 4.29 Hasil kemiringan gradien FEA.....	120
Gambar 4.30 Perbandingan konstanta elastisitas berdasar teori <i>plate & shell</i> , analitis dan FEA.....	121
Gambar 4.31 Hasil kemiringan gradien berdasar teori Hertz.	124
Gambar 4.32 Perbandingan konstanta elastisitas berdasarkan teori <i>plate & shell</i> , analitis, FEA dan teori Hertz.....	125

Gambar 4.33 Keterkaitan antara konstanta elastisitas dengan bilangan triangulasi.	129
Gambar 4.34 Keterkaitan antara konstanta elastis cangkang kapsid dan bilangan triangulasi.....	131
Gambar 4.35 (a) Grafik keterkaitan antara konstanta elastis lipid dan radius eksternal lipid untuk virus influenza, dan (b) Grafik keterkaitan antara konstanta elastis cangkang virion dan radius eksternal virion untuk virus HIV-1 (matang).	
.....	134



DAFTAR LAMPIRAN

Lampiran A. Bilangan Bulat Eisenstein.....	142
Lampiran B. Bilangan Triangulasi Virus	145
Lampiran C. <i>Plane Strain</i>	146
Lampiran D. <i>Plane Stress</i>	149
Lampiran E. Fungsi Tegangan Airy (<i>Airy Stress Function</i>)	153
Lampiran F. Tekanan dalam kasus kulit bola.	160
Lampiran G. Kalkulasi Tekanan Tensor.	162
Lampiran H. Teorema Virial.....	164
Lampiran I. Tekanan dalam variasi kontainer pada sisitem setimbang	177
Lampiran J. Tensor tegangan 2D dan 3D.....	184
Lampiran K. Kalkulasi konstanta elastisitas cangkang virus dengan tensor tegangan solusi Michell.....	187
Lampiran L. Persamaan tensor tegangan untuk kasus tegangan bidang	191
Lampiran M. Penjabaran tensor tegangan berdasar fungsi tegangan Airy (ϕ)... 195	
Lampiran N. Kondisi Batas (<i>Boundary Condition</i>)	197
Lampiran O. Mengapa tanpa pernyataan natural log ?	199
Lampiran P. <i>Buckling</i> pada kulit bola tipis	201

TATA NAMA NOTASI DALAM SKRIPSI

Berikut ini merupakan tata nama notasi dalam skripsi, yaitu sebagai berikut :

u , dan v = perpindahan (*displacement*) pada bidang x, dan y.

w = perpindahan pada arah z

e_{ij} = Tensor regangan normal

σ_{ii} = *normal stress tensor*/ tensor tegangan normal

τ_{ij} = *shear stress tensor*/ tensor tegangan geser

E = Modulus Young atau Modulus elastisitas

μ = *Modulus of rigidity*/ modulus ketegaran

λ = Konstanta Lame

Λ = Panjang gelombang De Broglie

ν = rasio Poisson

h = ketebalan

χ_x = perubahan kelengkungan pada arah x

χ_y = perubahan kelengkungan pada arah y

F_x , F_y = komponen gaya benda/*body* x, dan y

σ_T = Tensor tegangan lateral.

δR = deformasi radial

d = skala wilayah Bengkokan pada kulit.

D = *flexural rigidity*/ketegaran lentur

σ = beban/*load*

M = momen

N_x, N_y, N_{xy} = gaya normal, dan gaya geser per satuan jarak dalam permukaan tengah kulit

Q_x, Q_y = gaya geser per satuan jarak pada kulit

Q = Fungsi partisi

U_b = energi pembengkokan/*bending energy*

U_s = energi peregangan/*stretching energy*

p = tekanan radial eksternal

k = konstanta elastisitas

k_B = konstanta Boltzman

T = temperatur, bilangan triangulasi

r = jarak radial

R_1 = radius internal cangkang atau kulit virus

R = radius tengah cangkang atau kulit virus, radius indenter

R_2 = radius eksternal cangkang atau kulit virus

H = Energi bebas Helmholtz

V = volume cangkang atau kulit virus

$V(r_{ij})$ = energi potensial antar material kapsid maupun lipid

$u(r_i)$ = energi potensial total pada cangkang virus

β = kontanta dengan $\frac{1}{kT}$

r_{ij} = jarak antar material kapsomer maupun lipid i dan j

Ω^d = menyatakan luas permukaan bola dengan d=2, dan menyatakan volume bola dengan d=3

t_i = koordinat kapsomer maupun lipid

δR = kedalaman indentasi

